

千葉県土木部 正員 ○ 磯板 正昭  
九州産業大学 正員 崎山 正常

1. まえがき 水理構造物下の浸透流に起因する噴砂については古くより研究されており、限界動水こう配  $i_c$  は  $i_c = h_c/H = (1-\lambda)(\beta_s/\rho - 1) \div 1.0$  で示される。ここに  $h_c$  は限界水頭差、 $H$  は砂層の厚さ、 $\beta_s$  は砂の真比重( $\approx 2.65$ )、 $\rho$  は水の比重、 $\lambda$  は砂層の空隙率( $\approx 0.40$ )である。しかしこの式は動水こう配が砂層内に一様に分布してると仮定して静水力学的に求められたものであり、止水矢板まわりの浸透流に起因する噴砂、また、被圧地下水水部の不透水層に裂目が生じ被圧地下水がこの裂目から浸出したことも一因であると云われてある。たゞこの地震(1968.2~、震度4~6)における噴砂はビのように動水こう配が一様でない場合の噴砂については水理学的にもまだ問題が残されてると思う。本報では流れがゆるやかなハイピングに至る以前の正常な浸透状態にあっても動水こう配が急激に変化するところでは局部的に噴砂が起り、その局部の砂層が破壊されると云う経験的現象に着目し、図-1(A)および(B)のような模型について若干の検討を行なった。

2. 二次元流に対する解析 2.1. 長方形浸透領域の解析 流れの場をなるべく一般的に取扱うため正面の特異点と  $W$ 面の特異点は一致しない(C)の場合について解析し、図-1(A)に適用する。

Schwarz-Christoffel の定理により  $Z = X + iY = -iM \int_0^t \frac{dt}{\sqrt{-t} \sqrt{1-t} \sqrt{b-t}}$  .....(1)

$W = \bar{Z} + i\bar{Y} = \bar{h}H_u + N \int_0^t \frac{dt}{\sqrt{d_1-t} \sqrt{d_2-t} \sqrt{d_3-t} \sqrt{d_4-t}}$  .....(2) がえられる。まず式(1)において

$$t = T_e^2 = \beta + iY \quad \dots(3), \quad b = 1/\beta^2, \quad \beta^2 = 1 - \rho^2 \quad \dots(4), \quad X = x/(2\beta M), \quad Y = y/(2\beta M) \quad \dots(5)$$

$$\text{とおくと } X + iY = \int_0^{T_e} \frac{dt}{\sqrt{1-T_e^2} \sqrt{1-\beta^2} t} \quad \dots(6), \quad \text{したがって } T_e^2 = \sin^2(X+iY, \beta) \quad \dots(7) \quad \text{ここで } \sin^2 \text{ または}$$

は次後にあらわされる  $om$ ,  $dm$  は Jacobi の橋円関数である。式(7)と(3)を対応させると

$$\beta = [ \{ sm(x) dm(Y) \}^2 - \{ om(x) dn(x) sm(Y) om(Y) \}^2 ] / \{ 1 - dn^2(x) sn^2(Y) \}^2 \quad \dots(8), \quad Y = 2sn(x) dm(Y) cn(x) dn(Y) / \{ 1 - dn^2(x) sn^2(Y) \}^2 \quad \dots(9)$$

ただし、 $X$  および  $Y$  に関する

母数は  $\beta$  および  $\beta^2$  である。

$$sm(0, \beta) = 0, \quad om(0, \beta) = 1, \quad dn(0, \beta) = 1$$

$$sm(k, \beta) = 1, \quad om(k, \beta) = 0, \quad dn(k, \beta) = \beta^k \quad \dots(10)$$

ここに  $K$  は  $\beta$  を母数とする

第一種完全橋円積分  $K(\beta)$  である。

桌 A では  $S = 1, Y = 0,$

$Y = 0, X = L/(2\beta M)$  であるから

$$\text{式(8)より } L/(2\beta M) = K(\beta) \quad \dots(11)$$

同様に桌 C にあって

$$H/(2\beta M) = K(\beta') \quad \dots(12)$$

$$\text{故に } L/H = K(\beta)/K(\beta') \quad \dots(13)$$

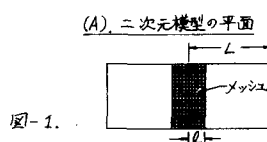
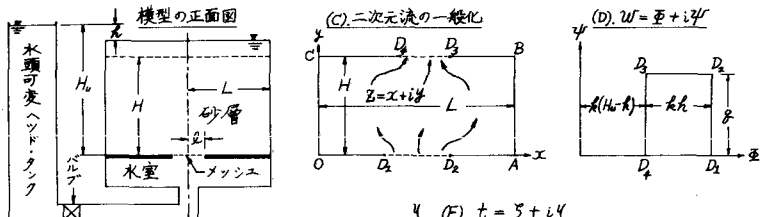
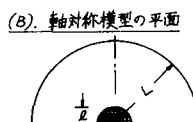


図-1.



$$\begin{aligned} & \text{F...透水係数, } \psi \dots \text{速度ポテンシャル} \\ & \psi \dots \text{流れ関数またはストークスの流れ関数} \\ & \text{軸対称流れの境界条件} \\ & D_1 \sim D_2 \dots \psi = RH_u, \frac{\partial \psi}{\partial y} = 0 \\ & D_2 \sim A \dots \psi = \psi_0, \frac{\partial \psi}{\partial y} = 0 \\ & A \sim B \dots \psi = \psi_0, \frac{\partial \psi}{\partial x} = 0 \\ & D_3 \sim D_4 \dots \psi = \psi_0(H_u - R), \frac{\partial \psi}{\partial y} = 0 \\ & D_4 \sim C \dots \psi = 0, \frac{\partial \psi}{\partial x} = 0 \end{aligned}$$

すなわち  $\beta/H$  を与えると  $\beta$  が求まり、 $L$  または  $H$  を与えると式(11)または(12)で  $M$  を求める。境界( $y=0$ )における式は式(8)および式(10)を利用して

$$0 \sim A \text{ 上} \cdots S = \sin^2(x) \cdots (14); \quad A \sim B \text{ 上} \cdots S = 1/dm^2(Y) \cdots (15)$$

$$B \sim C \text{ 上} \cdots S = 1/(\beta \sin^2(x)) \cdots (16); \quad C \sim O \text{ 上} \cdots S = -\frac{\sin^2(Y)}{dm^2(Y)} \cdots (17)$$

上式(14)～(17)より  $W$  面上の特異点  $D_2 \sim D_4$  に対応する

$$d_2 \sim d_4 \text{ が求められる。次に式(2)において } T_w^2 = \frac{(d_2-d_3)(d_1-t)}{(d_2-d_1)(d_3-t)} = \frac{(d_2-d_3)[(d_1-S)(d_2-S)+q^2]-i(d_2-d_1)q}{(d_2-S)^2+q^2} \cdots (18)$$

$$K^2 = \left( \frac{d_2-d_3}{d_2-d_1} \right) \left( \frac{d_1-d_1}{d_2-d_2} \right), \quad K^2 = 1 - K'^2, \quad q = \frac{\sqrt{(d_2-d_1)(d_2-d_3)}}{2} \cdots (19)$$

$$\nu = \partial \psi / \partial x = \partial \psi / \partial x, \quad v = \partial \psi / \partial y = -\partial \psi / \partial x \cdots (20)$$

$$\text{とおくと } T_w^2 = \sin^2(\phi - i\psi, K') \cdots (21) \text{ がえらむる}$$

。式(18)と(21)と E に対応させると

$$\frac{(d_1-S)(d_2-S)+q^2}{(d_2-S)^2+q^2} = \frac{(d_2-d_1)[\{ \sin(\phi) dm(t) \}^2 \{ \cos(\phi) dm(t) \}^2 \{ \sin(t) \}^2 \{ \cos(t) \}^2]}{\{ 1 - dm^2(\phi) dm^2(t) \}^2} \cdots (22)$$

$$\frac{q}{(d_2-S)^2+q^2} = \frac{(d_2-d_1)}{(d_2-d_1)(d_2-d_1)} \left[ \frac{2 \sin(\phi) dm(t) \cos(\phi) dm(\phi) dm(t) \sin(t) \cos(t)}{\{ 1 - dm^2(\phi) dm^2(t) \}^2} \right] \cdots (23)$$

ただし  $\phi$  および  $\psi$  の次数は  $\phi$  および  $\psi$  である。

点  $D_2$  では  $S = d_2$ ,  $\psi = 0$ ,  $\phi = 0$ ,  $\nu = \partial \psi / \partial N$  であるから

$$\text{式(22)より } \partial \psi / \partial N = K(K) \cdots (24); \quad \text{同様に点 } D_4 \text{ には}$$

$$\nu \partial \psi / \partial N = K(K') \cdots (25); \quad L \in \text{がって}$$

$$\partial \psi / \partial N = K(K) / K(K') \cdots (26)$$

式(26)より  $K$  と  $K'$  を与えて浸透流量  $Q$  が求まり、式(24)

または(25)より  $N$  を求まる。内部の流線および等水

位線を求めるには  $\phi$  および  $\psi$  を与えて、砂層内任意の点における動水こう配が求められると

対応する  $x$  および  $y$  を知れば事足りる。まず  $0 \leq$

$\psi \leq K(K)$ ,  $0 \leq \phi \leq K(K')$  の範囲で任意に  $\psi$  および

$\phi$  を与えると式(22)および(23)の右辺の値  $R_{22}$  およ

び  $R_{23}$  が定まるから

$$S = \frac{d_2 \{ R_{22}^2 (d_1-d_2)^2 - (1-R_{22})^2 \} + (d_2-d_3)(1-R_{22})}{R_{22}^2 (d_1-d_2)^2 - (1-R_{22})^2} \cdots (27)$$

$$q = \sqrt{\frac{R_{22}(d_2-S) - (d_1-S)(d_2-S)}{(1-R_{22})}} \cdots (28)$$

が求まり、次に式(8)の右辺第一項を  $A^2$ , 第二項を  $B^2$

とおけば式(8)および(9)より  $A^2 - B^2 = S$ ,  $2AB = q$   $\cdots (29)$

故に  $A = \sqrt{S^2 + q^2 + S}/2$ ,  $B = \sqrt{S^2 + q^2 - S}/2$   $\cdots (30)$

となると  $A$  および  $B$  の値が求まる。そいで式(8)と

前述  $A$  および  $B$  の定義から

$$A dm(x) \sin(x) dm(y) \cos(y) = B dm(x) dm(y) \cdots (31) \quad \text{となるから}$$

$$C = [B dm(y) / \{ A dm(x) dm(y) \}]^2 \cdots (32) \quad \text{となると}$$

$$\sin(x) = \sqrt{(1+\beta^2+C)^2 - \sqrt{(1+\beta^2+C)^2 - 4\beta^2}} / (2\beta^2) \cdots (33)$$

がえられる。すなわち、 $Y$  を仮定すれば式(32)より

$C$  が定まり式(33)より  $X$  が定まるがこの  $Y$  の仮定値

の正否は検査式;  $\sin(x) dm(y) / [A \{ 1 - dm^2(x) \sin^2(y) \}] = 1.0 \cdots (34)$

で check することによって確かめられる。このよう

にして定められた砂層内の任意の点  $(X, Y)$  における

動水こう配は次のようにして求められる。しかも

$$\text{および } \psi \text{ を } x \text{ および } y \text{ の負方向の流速とすれば} \quad u = \partial \psi / \partial x = \partial \psi / \partial x, \quad v = \partial \psi / \partial y = -\partial \psi / \partial x \cdots (35)$$

$$(dw/dz)^2 = (u - iv)^2 = u^2 - v^2 - i(2uv) \cdots (36) \quad \text{一方, 式(1)}$$

$$\text{および(2)より } (dw/dz)^2 = \left( \frac{N}{M} \right)^2 \frac{(1-t)(b-t)}{(d_1-t)(d_2-t)(d_3-t)(d_4-t)} \cdots (37)$$

上式の  $M$ ,  $N$  に式(12)および(25)の関係を用いて、

さらに式(37)の右辺を虚部と実部に分離して式(36)

と対応させれば  $U = (u/v)/(b/a) = \sqrt{D^2 + E^2 + D}/2 \cdots (38)$

$$V = (v/v)/(b/a) = \sqrt{1/D^2 + E^2 - D}/2 \cdots (39), \quad G = \sqrt{1/V^2} \cdots (40)$$

たゞ  $E$  は  $D = K_2 (K_2 K_4 - q^2 K_3 K_5)/K_6$ ,  $E = -q K_1 (K_2 K_3 + K_4 K_5)/K_6$

$$K_1 = \{ (d_2-d_1)(d_3-d_2)/b \} \{ K(\phi)/K(K') \}^2, \quad K_2 = \{ S(1-S) + q^2(b-t) + (1-2S)q^2 \}$$

$$K_3 = (1-2S)(b-S) - \{ S(1-S) + q^2 \}, \quad K_4 = \{ (d_1-S)(d_2-S) - q^2 \} / \{ (d_1-S)(d_2-S) - q^2 \}$$

$$- (d_1+d_2-2S)(d_3+d_4-2S) \}, \quad K_5 = \{ (d_1-S)(d_2-S) - q^2 \} / \{ (d_3+d_4-2S) \}$$

$$+ \{ (d_2-S)(d_3-S) - q^2 \} / \{ (d_1+d_2-2S) \}, \quad K_6 = \{ (d_1-S) + q^2 \} / \{ (d_2-S) + q^2 \}$$

$$+ \{ (d_3-S) + q^2 \} / \{ (d_4-S) + q^2 \} \cdots (41) \quad \text{である。} \quad \text{すなわち}$$

各境界( $y=0$ )において式(22)～(25)と式(14)～(17)と  $X$

に対する  $x$  および  $y$  を知れば事足りる。まず  $0 \leq$

$\psi \leq K(K)$ ,  $0 \leq \phi \leq K(K')$  の範囲で任意に  $\psi$  および

$\phi$  を与えると式(22)および(23)の右辺の値  $R_{22}$  およ

び  $R_{23}$  が定まるから

$$S = \frac{d_2 \{ R_{22}^2 (d_1-d_2)^2 - (1-R_{22})^2 \} + (d_2-d_3)(1-R_{22})}{R_{22}^2 (d_1-d_2)^2 - (1-R_{22})^2} \cdots (42)$$

$$d_2 \sim D_3 \text{ 上} \cdots S = \frac{d_2(d_2-d_1) - d_1(d_3-d_2)}{(d_2-d_1) - (d_3-d_2)} \sin^2(\phi) \cdots (43)$$

$$D_3 \sim D_4 \text{ 上} \cdots S = \frac{d_2(d_2-d_1) - d_1(d_4-d_3)}{(d_2-d_1) - (d_4-d_3)} \sin^2(\phi) \cdots (44)$$

$$D_4 \sim D_1 \text{ 上} \cdots S = \frac{d_1(d_4-d_3) - d_2(d_1-d_2)}{(d_4-d_3) - (d_1-d_2)} \sin^2(\phi) \cdots (45)$$

がえられるから、まず  $\psi$  または  $\phi$  を与えて  $=$   $x$  に

対応する  $y$  の値  $E$  式(42)～(45)で求め式(14)～(17)と  $X$

または  $Y$  を求めれば式(41)の各式で  $y = 0$  とおこな

いより  $U = \sqrt{D}$ ,  $V = \sqrt{-D}$   $\cdots (46)$  とおこなうと簡単に

各境界ににおける物理諸量を求めることができる。

## 2-2. 半無限帶状領域への拡張 図-1(c)の平面

が  $X$  の正方向に無限に延びた領域は東  $A$  と西  $B$  の

$= \infty$  で一致した場合を考えてみよう。したがって 2-1

の解析結果で  $b = 1/\beta^2 = 1/(1-\beta^2) = 1.0$ ,  $K(\beta) = \infty$ ,  $K(\beta') = 0$

$\sin(\theta, t) = \tanh \theta$ ,  $\sin(\theta, 0) = \sin \theta$  などとの関係を用いて所要の式を書きかえれば直ちに二の場合は拡張適用することができる。

### 2.3. 両無限帯状領域への拡張 さらに2面グリッド

正負両方向に無限に延びた領域は卓 A と B が  $x=\infty$  で卓 C と D が  $x=-\infty$  で一致した場合を考えること。したがって二の場合には X, Y 軸の原点を適当な位置にえらぶか、その原点を  $t=0$ ,  $x=\infty$  と  $t=1$  に対応させると式(1)のかわりに

$$Z = X + iY = M \int_{t=0}^{t=1} dt = -M \{ \ln(t-1) - i\pi \} \quad \cdots (27)$$

上式より若干の演算のうち

$$X = \frac{1}{2} \ln \left( 1 / \{ (S-1)^2 + Y^2 \} \right) \cdots (28); \quad Y_{S21} = \pi - \tan^{-1} \left( \frac{Y}{S-1} \right) \cdots (29)$$

$$Y_{S11} = \tan^{-1} \left( \frac{Y}{1-S} \right) \cdots (30); \quad X = \pi Y / H, \quad Y = \pi Y / H \quad \cdots (31)$$

がえらばれる。また式(28)で  $Y=0$  とあくまで上辺である下辺の  $S$  の式がえらばれる。すなはち

$$\text{上辺} \dots S = 1 + e^{-X}; \quad \text{下辺} \dots S = 1 - e^{-X} \quad \cdots (32)$$

上式から  $d_1 \sim d_4$  を求めることはできる。領域内部の物理諸量は、まず  $X$  および  $Y$  を与えて式(29)から式(31)で  $S$  を求め、これを式(48)～(50)に適用すれば  $X$  および  $Y$  を求められる。これに対する動水は、う配は式(38)～(41)で求められる。ただし  $t=1$  の場合

$$K_1 = (d_1 - d_4)(d_2 - d_3) \left\{ \left( \frac{\pi}{H} \right)^2 / K(X) \right\}^2, \quad K_2 = (1-S)^2 Y^2, \quad K_3 = 2(S-1) \cdots (41)$$

となる。境界 ( $Y=0$ ) における  $X$  または  $Y$  を与えて式(42)～(45)で  $S$  の値を求める、式(52)で  $X$  の値を求めて対応する  $Y$  の動水はう配は式(46)で求められる。

### 3. 軸対称流に対する数値解析 軸対称流の場合には

$$U = \partial \phi / \partial X = \partial \phi / \partial x, \quad V = \partial \phi / \partial Y = -\partial \phi / \partial x \quad \cdots (33)$$

$$\partial^2 \phi / \partial X^2 + \partial^2 \phi / \partial Y^2 + \partial \phi / \partial X = 0, \quad \partial^2 \phi / \partial X^2 + \partial^2 \phi / \partial Y^2 - \partial \phi / \partial X = 0 \quad \cdots (34)$$

が成立する。ただし  $t=1$  の場合の  $U$  は Stokes の流れ関数である。式(33)の一般解は Legendre の多項式を用いて表わされると図-1(F)に示す境界条件に二の一般解を適合せらるこことは算者らには難事と考へられたので数値解を試みた。まず

$$\phi = \Psi / (\kappa R H), \quad \Psi = \Psi / (\kappa R H) \quad \cdots (35)$$

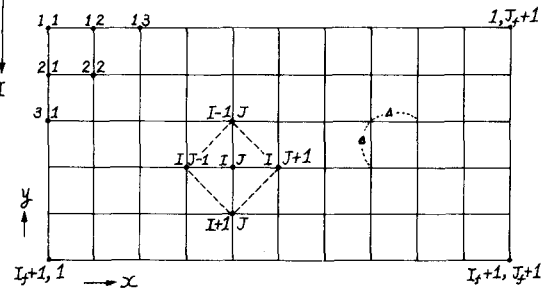
$$X = X / H, \quad Y = Y / H \quad \cdots (36)$$

とする無次元化を行なうと

$$U = (\Psi_H) / (R_H H) = \partial \Psi / \partial X = \partial \Psi / \partial x, \quad V = (\Psi_H) / (R_H H) = \partial \Psi / \partial Y = -\partial \Psi / \partial x \quad \cdots (37)$$

もまた成立する。二水色圖-2 によて差分式で

図-2. 領域の分割



あらわすと

$$U_{IJ} = \frac{1}{2A} \{ \Psi_{I,J+1} - \Psi_{I,J-1} \} = \frac{1}{2(G-1)A^2} \{ T_{I,J+1} - T_{I,J-1} \} \quad \cdots (38)$$

$$V_{IJ} = \frac{1}{2A} \{ \Psi_{I+1,J} - \Psi_{I-1,J} \} = -\frac{1}{2(G-1)A^2} \{ T_{I+1,J} - T_{I-1,J} \} \quad \cdots (39)$$

$$\Psi_{IJ} = \frac{1}{4} \left[ \Psi_{I,J} + \left\{ 1 - \frac{1}{2(G-1)} \right\} \Psi_{I,J+1} + \Psi_{I,J-1} + \left\{ 1 + \frac{1}{2(G-1)} \right\} \Psi_{I,J+1} \right] \quad \cdots (40)$$

$$T_{IJ} = \frac{1}{4} \left[ T_{I,J} + \left\{ 1 + \frac{1}{2(G-1)} \right\} T_{I,J+1} + T_{I,J-1} + \left\{ 1 - \frac{1}{2(G-1)} \right\} T_{I,J+1} \right] \quad \cdots (41)$$

がえらばれる。式(40)を逐次加速緩和法 (successive over-relaxation method … 以下 SOR 法と云ふ) の式で書くと

$$\Psi_{IJ}^m = \left( \frac{\omega}{4} \right) \left[ \Psi_{I,J}^m + \left\{ 1 - \frac{1}{2(G-1)} \right\} \Psi_{I,J+1}^m + \Psi_{I,J-1}^m + \left\{ 1 + \frac{1}{2(G-1)} \right\} \Psi_{I,J+1}^m \right] - (1-\omega) \Psi_{IJ}^{m-1} \quad \cdots (42)$$

がえらばれ、 $\Psi_{IJ}^m$  に  $\Psi_{IJ}$  でも同様な式になる。 $m$  は計算の回数で  $\Psi_{IJ}^m$  は格子卓  $I, J$  における  $\Psi_{IJ}$  のことである。 $I$  および  $J$  を領域の横

および横の分割り個数としたとき加速度係数 (over-relaxation factor)  $\omega$  の値は

$$\mu = \frac{(I_4+1)^2 \cos(\pi/I_4+1) + (J_4+1)^2 \cos(\pi/J_4+1)}{(I_4+1)^2 + (J_4+1)^2} \quad \cdots (43)$$

$$\omega = 1 + \frac{\mu}{(1 + \sqrt{1 - \mu^2})^2} \quad \cdots (44)$$

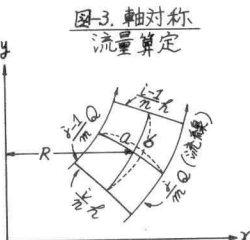
を適用すれば  $\omega = 1.0$  と 1 で Gauss-Seidel iteration method に  $\omega$  の反復回数の少なくて半分であると云う文献<sup>2)</sup>があるが  $\omega$  の最適値については今後とも検討する計画である。各格子卓  $\Psi_{IJ}$  および  $T_{IJ}$  は、

はじめに常識程度で仮定しておき式(41)で反復計算を行なうとむろん収束する。この結果によつて軸対称流にあっても図-4(C)に示すように二次元

流の場合の流線網に似たものがでてあがる。

この網目の代表的なもの一つを図-3のようにならべば流量  $Q$  は近似的に

$$\frac{Q/(2\pi R)}{R^2} = \lambda \cdot \frac{m}{n} \quad \dots (63), \quad (\lambda = \frac{q}{b}, \quad \lambda R = \text{const})$$



によって求められる。ここで  $a$  は等ポテンシャル線の平均長さ,  $b$  は流線の平均長さ,  $n$  は流入出部のポテンシャルの差の等分数,  $m$  は流量  $Q$  の等分数である。他の網目について check するときは  $\lambda R = \text{const}$  なることを確かめればよい。また、 $q_{I,T}$  および  $\beta_{I,T}$  の何れか一つを反復計算によって収束させれば他の一つは式(57)を積分して求められ計算はむしろ両方別々に反復計算するよりもはやい。本報では反復回数なども省略するため別々に収束させてみた。

**4. 計算および実験** 以上の解析結果を検討するためには幾種の寸法のものに対して計算および砂模型による実験を行なつた。計算は若干のデータ作成以外全く九産大電子計算機 OKITAC 5090 によつた。その一部を図-4 および写真に例示してある。これらによると解析結果は何れも妥当なようである。また、図-4(B)には解析解のほかに SOR 法による数値解の結果を示してある。これは  $I_f = 25, J_f = 50$  で誤差  $\leq 1/J_f^2$  まで収束させた結果である。解析解の結果は式(34)の標準式が 0.9999~1.0001 の範囲で結果がなされており。解析解と数値解は要する時間と労力は数値解による方が格段に少なくてすむようである。次に図-4 の各流線網内には  $L=1.0, V=1.0$  あるいは  $G=1.0$  の運動水うねり線を示しているが、これらの線より外側の領域では Darcy の動水うねりは砂層等で準絶化された動水うねり  $g/H$  より大きくなる。すなはち  $g/H$  が 1.0 に達する

以前に Darcy の動水うねりは 1.0 に達する領域である。噴砂がいわゆるハロ化シングに至らないまでも砂土も壁の内部で破壊されることは実験によつて確認され、例を写真に示してある。今後は砂層

図-4(A). 長方形  $\frac{x_{D1}}{H} = 0.3, \frac{x_{D2}}{H} = 0.5, \frac{x_{D3}}{H} = 1.4, \frac{x_{D4}}{H} = 1.0$

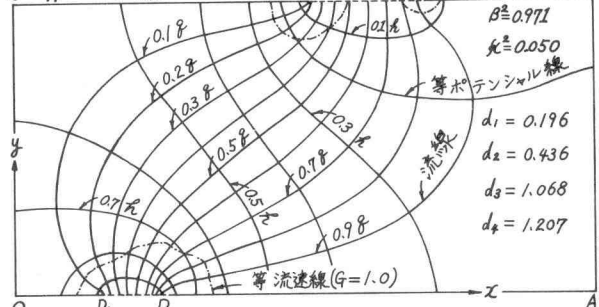


図-4(B). 長方形  $\frac{x_{D2}}{H} = 0.20$

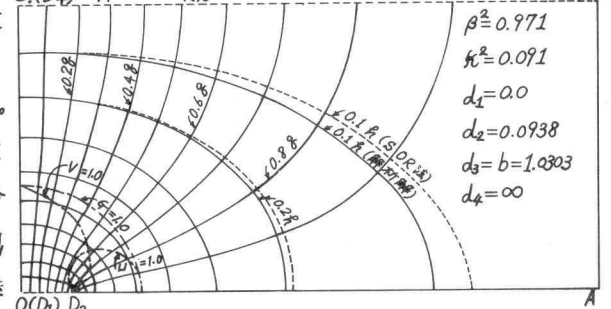


図-4(C). 軸対称  $\frac{x_{D2}}{H} = 0.20$

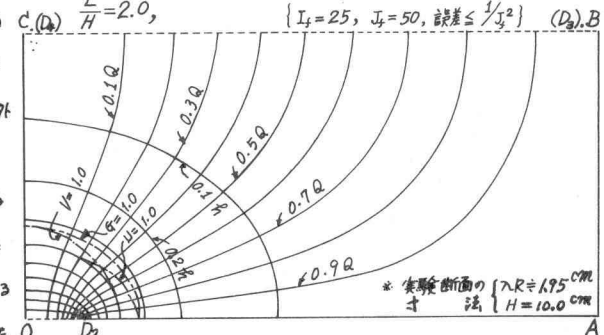


写真-1. 軸対称内部  
破壊  $g/H = 1.0$

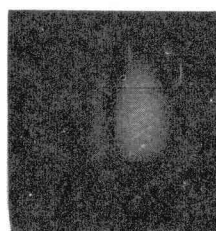
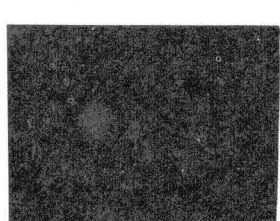


写真-2. 軸対称ハロ化シング  
 $g/H = 3.0$



ことは実験によつて確認され、例を写真に示してある。今後は砂層を想定するであろう  $g/H$ ,  $\beta^2/H$ ,  $k^2/H$  の粒径など種々なパラメータについて検討したと考えている。  
1) 友成書, 流体工学, 第2版, 清水出版, pp. 181~188.  
2) ASCE, Hy Div / 1967 pp. 13~27.